

I-3 偏心補剛板の座屈について

広島大学 工学部 正員 大村 榮
正員 吉浪 康行
○学生員 花田 潤一

1. はじめに 現行示方書の補剛板の座屈問題においては、通常補剛材が板の片側にのみ配置されているにもかかわらず、その偏心の影響を無視して補剛材の最適剛比を決定している。しかし実際の補剛板においては、偏心量は板厚の2~3倍にも達し、この影響に対して何らかの考察が必要であろうと思われる。補剛板に対する直交異方性板理論の適用については、Huberをはじめ多くの研究者により検討されてきたが、それらと座屈問題に適用した例は以外に少ない。従って本報告においては、直交異方性板理論において偏心の影響を積極的に取り入れているGienkやの近似式の概念を導入して偏心補剛板の座屈式を誘導し、実際に使用されそうな断面の下で、現行示方書の座屈式と比較する。さらに参考のため、Pflügerの解との比較も述べる。

2. 座屈式 (以下記号 $\zeta = (\zeta_x, \zeta_y)$ を用いる)

イ) 偏心の影響を考慮した座屈式

座屈の間、 x 、 y 方向いずれか、換算断面図上におけるひずみを0と仮定すると、換算断面図上にに関するモーメント表示として、次式を得る。

$$\left. \begin{aligned} M_x &= -B_x w'' - v \cdot (B + e_x e_y D) \cdot w'' \\ M_y &= -B_y w'' - v \cdot (B + e_x e_y D) \cdot w'' \\ M_{xy} &= -(1-v) \left\{ B + e_x (e_x + e_y) \cdot \frac{D}{2} \right\} \cdot w'' \\ M_{yx} &= -(1-v) \left\{ B + e_y (e_x + e_y) \cdot \frac{D}{2} \right\} \cdot w'' \end{aligned} \right\} \quad (1)$$

エネルギー法により、座屈値(座屈の臨界値)は、次の様に与えられる。

$$(N_x)_{\text{crit}} = \frac{\int_0^b [M_x w'' + (M_{xy} + M_{yx}) w' + M_y w''] dx dy}{\int_0^b (w')^2 dx dy} \quad (2)$$

(1), (2)において、座屈波形を二重三角級数 $w = \sum_{m=1}^{\infty} \sum_{n=1}^{\infty} \sin \frac{m \pi x}{a} \cdot \sin \frac{n \pi y}{b}$ とすると (a, b は板の縦、横の長さ)

$$(N_x)_{\text{crit}} = \frac{\frac{\pi^2 a b}{8} \left\{ B_x \frac{1}{a^2} \sum_m m^2 a_{mn}^2 + 2 \cdot H \frac{1}{a^2 b^2} \sum_m \sum_n m^2 n^2 a_{mn}^2 + B_y \frac{1}{b^2} \sum_n n^2 a_{mn}^2 \right\}}{\frac{\pi^2 b}{8} \sum_m m^2 a_{mn}^2} \quad (3)$$

但し $H = B + v \cdot e_x e_y D + (e_x + e_y)^2 \cdot \frac{1-v}{4} D$

(3)式の最小値を求めると、次式が得られる。

$$(N_x)_{\text{crit}} = \frac{\pi^2}{b^2} \left\{ B_x \left(\frac{m}{a} \right)^2 + 2 \cdot H + B_y \left(\frac{m}{b} \right)^2 \right\} \quad (4)$$

ロ) 偏心を考慮しない座屈式

座屈の間、板(補剛される板)中立面におけるひずみを0と仮定すると、板中立面に関するモーメント表示として次式を得る。

$$M_x = -B_x w'' - v \cdot B \cdot w'' - D_x e_x^2 w'' \quad M_y = -B_y - v \cdot B \cdot w'' - D_y e_y^2 w''$$

$$M_{xy} = M_{yx} = -(1-v) \cdot B \cdot w''$$

イ) の場合と同様にエネルギー法を適用すると次式が得られる。

$$(N_x)_{\text{crit}} = \frac{\pi^2}{b^2} \left\{ (B_x + e_x^2 D_x) \cdot \left(\frac{m}{a} \right)^2 + 2 \cdot B + (B_y + e_y^2 D_y) \cdot \left(\frac{m}{b} \right)^2 \right\} \quad (5)$$

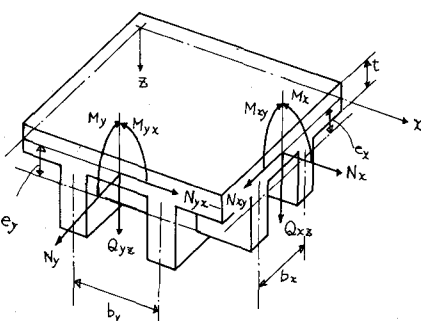


図-1

偏心補剛板要素

(5) または、示方書で採用されている座屈式と同種のものである。

〈記号の説明〉

$$\begin{aligned}
 M_x &= \frac{1}{b_x} \int d_x Z dF_x & M_y &= \frac{1}{b_y} \int d_y Z dF_y \\
 M_{xy} &= \frac{1}{b_x} \int T_{xy} Z dF_x & M_{yx} &= \frac{1}{b_y} \int T_{yx} Z dF_y \\
 B_x &= \frac{1}{b_x} \int E(Z) \cdot (Z - c_x)^2 dF_x & B_y &= \frac{1}{b_y} \int E(Z) \cdot (Z - c_y)^2 dF_y & B = \frac{Et^3}{Iz(1-v^2)} \\
 D_x &= \frac{1}{b_x} \int E(Z) dF_x & D_y &= \frac{1}{b_y} \int E(Z) dF_y & D = \frac{Et}{1-v^2} \\
 e_x &= \frac{1}{b_x b_z} \int E(Z) Z dF_x & e_y &= \frac{1}{b_y b_z} \int E(Z) Z dF_y \\
 v &; \text{ ポアソン比} & \alpha &= a/b & E &; \text{ ヤング係数} & t &; \text{ 板厚}
 \end{aligned}$$

ハ) Pflügerの解

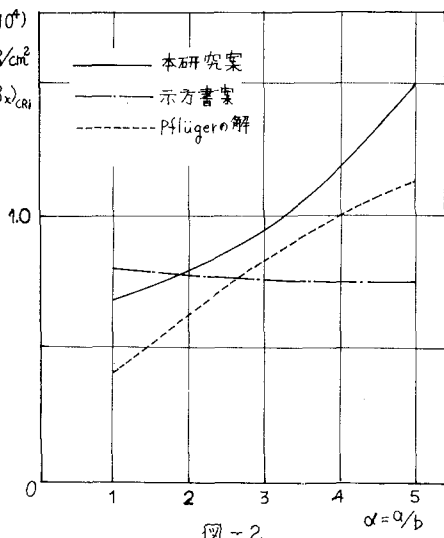
Pflügerの解は、座屈の支配方程式が、Euler方程式となる様な汎関数から近似解を求めた。結果のみを書くと、次の様である。
記号の詳細は参考文献⁴⁾を参照されたい。

$$\left. \begin{aligned}
 (\delta_x)_{\text{Pf}} &= \frac{E \pi^2 Q^2}{Iz(1-v^2)} \cdot k \\
 k &= \frac{1}{\alpha^2 m^2} \left[\lambda_x m^4 + L Q^2 \alpha^2 m^2 n^2 + \lambda_y \alpha^4 n^4 - 12(1-v^2)^2 \cdot \right. \\
 &\quad \left. \frac{Q^2 m^6 (w_x \alpha^2 m^2 + \frac{1-v}{z} Q \cdot m^2) + Q^2 \alpha^6 n^6 (w_x m^2 + \frac{1-v}{z} Q \cdot \alpha^2 n^2) - (1+v) Q \cdot Q_2 Q_1 \alpha^2 m^2 n^4}{(w_x m^2 + \frac{1-v}{z} Q \cdot \alpha^2 n^2)(w_y \alpha^2 n^2 + \frac{1-v}{z} Q \cdot m^2) - \frac{1}{4}(1+v)^2 Q^2 \alpha^2 m^2 n^2} \right] \quad \cdots (6)
 \end{aligned} \right\}$$

3. 結果と考察

本報告で説明した(4)式と、示方書等で用いられている(5)式との相異は、補剛板の曲げ及び擦り剛度の評価の差であると思われ。一般に、本報告案では、曲げ剛度に相当する項を小さく評価し、擦り剛度に相当する項を大きく評価したことになる。以上の差異が座屈値にどのように表わされてくるか調べるために、一例として、横方向補剛材がない場合を考えて、前述の二者、さらにPflügerの解⁽⁴⁾と示方書の解⁽⁵⁾を比較した。板定断面は、板と補剛材断面積比 $n_f = 0.3, 0.4, 0.5$ の各々について、 $\alpha = 1, 2, 3, 4, 5$ の計15ケースについて示方書でいう最適断面を用いた。従ってこれらの断面は、実際の構造物に対してよく用いられているものである。

計算結果の一例として、 $n_f = 0.4$ の場合の、板定断面での、座屈値の比較のグラフを右に示す。詳細は当日発表の予定である。



参考文献

- *1) 道路橋示方書 同解説 日本道路協会
- *2) Die Grundgleichungen für die orthotrope Platte mit extrischen Stäben
Der Stahlbau 1955 Heft 6 by E. Griecke
- *3) Zum Beulproblem der anisotropen Rechteckplatte
Ingenieur-Archiv 16 (1947) by A. Pflüger
- *4) Theory of elastic stability
by S. P. Timoshenko and J. M. Gere